中Cs₂O 1.5~4.10%, Rb₂O 0.7~1.42%, Li₂O 0.4~0.7%, K₂O 6~6.5%.

在外接触带的蚀变带中,单个样品绝含量变化在0.01~2%之间。从整体来说,从脉壁到离脉5~10米处,铯含量相应地由0.5~2%减至<0.1%,递减很规律。这是因为,随着离脉距离的增加既减少了新生黑云母,也减少了其中的稀有金属。

在某些已发现的伟晶岩脉束外接触带中, 铯黑云母中的铯有时大大超过世界上最大的铯榴石、锂云母矿床的铯储量。未经预选的矿石(样品含铯0.5%)实验室工艺试验表明: 原则上能用化学工艺加工方法几乎把全部稀碱金属和钾都提取出来。

盒铯、物和锂的外接触带位于钽、锡、锂、铍工业伟晶岩的旁侧,在露天开采伟晶岩的同时,可顺便开采铯黑云母。

形成铯黑云母工业富集的基本有利条件是:

- 1.有含角闪石围岩(角闪石页岩、片麻岩、角闪岩、辉长岩等)存在,因为由角闪石易形成新生黑云母。
- 2.含锂一铯矿化的微斜长石一钠长石伟晶岩广 泛发育,当有此种共生类型的低温岩脉存在,即脉体中钠长石多于微斜长石,无早期花岗、文象结构 (若无变文象结构带则更好)时,对生成大量铯黑 云母尤其有利。
- 3.在确认有铯富集的伟晶岩(带、田)内, 钠 长石或钠长石-锂辉石型矿脉的外接触带也能聚集 大量铯黑云母, 虽然这里的云母含铯不如微斜长石 一钠长石伟晶岩附近那样高。
- 4. 伟晶岩形成的不稳定构造环境,使铯和其他 元素带进图岩,从而有利于铯黑云母的形成。这种 不稳定环境的表现。不仅在于脉的分带差、矿内角 砾、穿插现象、自变质作用发育。而且还在于脉的 形态复杂以及伟晶岩田(或束)的特征构造。即伟 晶岩密集于长期构造作用的狭窄地带内。
- 5.与仅见于古老伟晶岩中的大而富铯榴石、锂云母矿床的区别是: фанерозой伟晶岩田通常呈大量小而贫的脉体形成于不稳定构造环境为其特征,这对形成铯黑云母的工业富集有利,因为黑云母化正是在弱矿化的薄脉附近广泛发育。所以,那些研究程度很高而且发现大而富的铯榴石、锂云母矿床希望不大的伟晶岩地区,应在对古老伟晶岩进行工作的同时,对铯黑云母也要进行检查。

李慈云据《Доклади АН СССР》, 1972, сер. геология, Том. 206, №№1, 2, 3和《Разведка и охрана иедр》, 1972, №8 编译

岩石中氟化物的分析及其在地质找矿上的应用

引言

直到现在,地质样品的氟化物* 都是在手续烦琐的蒸馏分离以后用滴定法和分光光度法分析。大约在六年前氟化物离子选择电极问世以后,发表了许多采用这种探测器的专门方法。英格拉姆与梅提出对硅酸盐和磷酸盐进行蒸馏分离,再用氟化物探测器作为终点检测器进行精密的滴定分析。下面介绍一种标准的加入法(不需要蒸馏),得出的结果与发表的标准岩石的值很吻合。为了证明一次典型测量中获得的氟化物值的范围,作者曾将此方法用在某一个锡矿。

分析方法

设备

奥里昂401型PH计刻度经过展宽了的毫伏表; 奥里昂氟化镧固体晶体电极;套管型甘汞参考电极; 能容纳6~8个样品、保持600℃的烘箱(野外则 用 本生灯和乙炔发生器)。

分析手续

称0.1克试样(-200网目)放入40毫升镍坩埚中。加10片氢氧化钠。放入620° ±10° 的马 弗 炉中20分钟。取出坩埚冷却,加蒸馏水至坩埚半满,静置10分钟,搅拌除去粘附的块状物,冲洗坩埚中所盛物质倾入250毫升的塑料烧杯内,在搅拌过程中一滴滴地加入浓硝酸,直到所有胶凝的 沉 淀 物(通常显棕色)恰好溶解完为止。加45克柠檬酸铵并用蒸馏水稀释到100毫升。加10片氢氧化 钠,放在磁力搅拌器上以中等速度搅拌至固体溶解。将电

* 氟化物-- 词在这里用来表示镇。因为选择离子电极只对以氟离子存在的那一部分的总氛量有反应。在本文分析手 大学、一节中所描述的方法是将岩石所有的氟试验溶液中变成 氧化物。

极放入溶液中,待指针摆动稳定后在展宽的刻度尺 上读毫伏(mv)数。此读数有两种方法处理。利 用直接的或标准的对比方法,测量一系列与样品类 似的氢氧化钠-柠檬酸铵基 体 中 含 有 合 适 浓 度 ,0.1, 0.5, 1.0 ·····ppm) 氟化物的标准样品mv读 数。将这些值在半对数座标纸上绘成曲线,未知样 品的值即可从图上读出。利用格兰的图或是标准的 加入法,从10毫升的滴定管中将10ppm的氟化物溶 液,按1毫升,1毫升,2毫升,2毫升的容积一 次一次地滴入,每滴入一次后读一次稳定的毫伏读 数。将对滴定引起容积增大10%进行补偿后的毫伏 读数绘在格兰绘图纸上。正像在有规律的标准加入 法中那样,用外推法求得未知的氟化物值。利用上 述两种方法可以分析含有少到50ppm氟化物的岩石 样品溶液。

方法的讨论

氟化物电极对氢氧离子有反应。 当羟基浓度超 过氟化物浓度10%左右将发生干扰。另外,氟化物 离子在氢离子浓度高时为氢离子络合。 氟化物还与 Si⁴⁺、Al⁸⁺和Fe⁸⁺形成络合物。这些络合物的影 响在于除去游离的氟化物不使之与电极发生相互作 用,于是使所得氟化物浓度值降低。在岩石样品溶 液中加入柠檬酸铵, 使PH值缓冲到5到7之间并

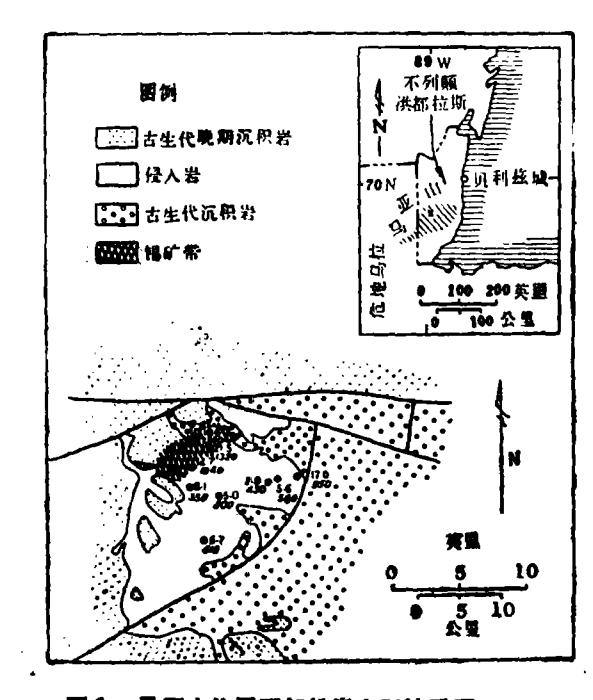


图 1 马亚山位置图与松脊山区地质图 图中,松脊山的位置以×表示,断层用粗线表示。点 表示采样地点,每个点旁的数字,上面的代表水淋滤的氟 化物值,下面的代表总的氟化物值

形成没有氟化物的络合物,既可减小直接的羟基干 扰, 又可减少氟化物的络合。

已发表的标准岩样的值与用上面介绍的标准对 比方法求得的值的一致不是不变的。在某些情况下 是一致的, 这与从文献中所摘取的值有关。对于其 它的岩石、所求得的值表现有明显的负偏差。与文 献所载的用公认的蒸馏-钍滴 定 法得出的值对比。 这种偏差特别明显。根据这种情况用了许多不同的 缓冲剂和络合剂试验,但都没有获得改进。广泛地 采用标准的加入法来克服某些干扰问题。这种方法 配合表示数据的格兰绘图法所获得的结果与文献上 所載的结果很吻合(表1)。

标准岩石的氟化物值* 畫 1

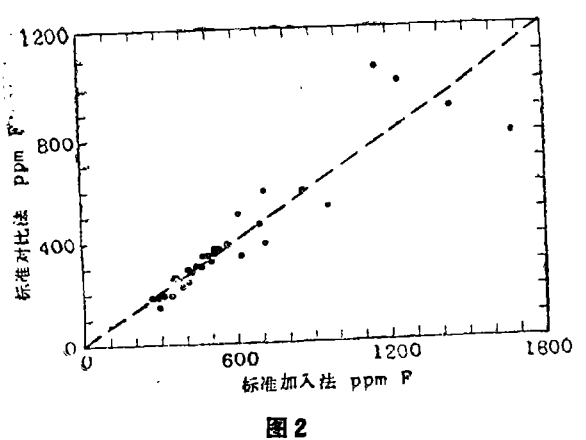
样 品	文 献 上 所载的值	用 本文介绍 的方法所得 的 平均值	标准离差	重复次數
	ppm	ppm		
W-1	210(1)	320	30	5
	300(2)			
AGV-1	435(1)	475	35	5
G-2	1205(1)	1230	80	4
BCR-1	485(1)	545	25	6
S-1	1770(1)	1750	-	1
	1700(2)			

- * 我们的数值是用标准加入法(格兰绘图法)分析获得的。
 - (1)黄和约翰(1967)文中所得的值:
 - (2)英格梅尔和苏尔(1963)文中所得的值。

方法的应用

锡通常与氟共生,而且被认为它在富氮的环境 中是流动的。因此,锡矿应以某种方式与氰的浓集 结合在一起,这使得对上述分析方法的应用提供一 种方便的检验方法。

在不列颠洪都拉斯马亚山, 锡矿广泛地产在花 岗岩侵入体里面或其附近,并且沿着侵入晚期古生 代沉积岩的松脊山花岗岩的西北边缘发育。这些岩 石不整合地为白垩系与较晚期的沉积岩所覆盖。在 加勒比海凯曼山西面延伸部分高高地隆起。现在出 露的松脊山岩基可能是埋藏在其西面的佩滕低地迭 盖的中生代和新生代沉积岩下面的大花岗岩体的东 端(图1)。松脊山花岗岩未风化标本的全岩(格兰 绘图法)氟化物值示于图1。在四个高氟化物值中 其中有三个是锡矿。这三个值的平均值,在95%置 信范围内,比其余标本的值要大。我们还分析了马 亚山其它部分的花岗岩样品(表2)。除JHB-35 和JHB-42外,氟化物值高的样品(>750ppm)



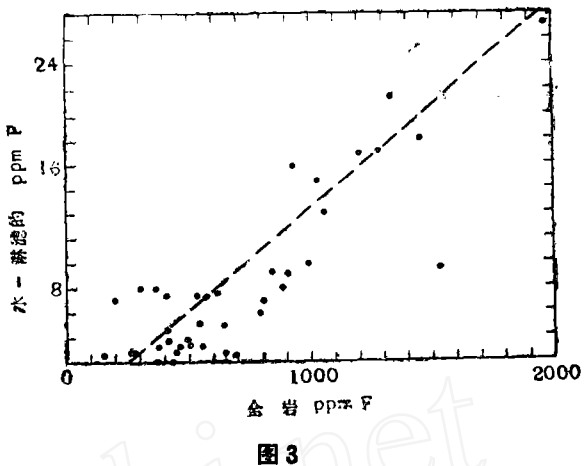
不列颠供都拉斯花岗岩与大安得列斯花岗闪长岩(这里未作讨论)用标准对比法和标准加入法(格兰绘图法)测得的总氟化物的关系

在松脊山区外围搜集的不列颠洪都拉斯 花岗岩的氟化物值 表 2

样 品	采集地点	总 氟 含 量	
BH-K-99	089/820	550(ppm)	
BH-K-70D	520/725	580	
JHB-35	352/857	840	
JHB-42	369/859	1060	
JHB-43	364/792	790	
JHB-45	418/824	1200	
JHB-46	468/744	900	
JHB-50	534/886	540	
1HB-53	341/567	990	
JHB-55	307/395	1540	

都在现在已知的砂锡矿的范围内。

虽然格兰绘图法对氟化物浓度能得出精确的资料,但其它较简单的方法也可提供关于异常氟化物



花岗岩和花岗闪长岩中标准加入法测得的全岩和水淋 滤的氟化物值之间的关系。含氟大于10ppm的几块样品在 光薄片中有萤石

值的类似资料。例如,用标准加入法获得的值指出,大部份与用标准加入法获得的值呈线性关系(图2)。尽管这两种方法化学药品的费用大致和等(1个样品分析费用需 1 加元),但每天只能做15个格兰绘图分析,而标准对比分析法可以做30个。另外,两种方法的全岩氟化物的值,与这里试验的岩石的水可淋滤的氟化物值呈一有规则的关系(图3)。因此,对于某些应用来说,范·龙等人提出的费用少的速度更快的水淋滤的方法也可以用。但是,在图 3 中低氟化物部分,点的分散表明,水淋滤方法不能可靠地反应整个岩石中丰度小于600ppm的氟化物变化。

吴奇石译自《Journal of eochemi cal Exploration》1973, Vol.2, No.1, P.11-15 作者: S·E·Kesler等

薄片中铁锰矿物的去色方法

在岩石-地球化学和矿物研究工作中,有时需要把有碍于矿物鉴定的铁、锰氧化物和氢氧化物从 光片或薄片上除去。其方法是:

于40~50毫升 1 %的羟氧溶液中,加入稀释至 1:3的硫酸3~4毫升,再加约0.2克抗坏血酸。以上试剂用Mr4*和Fe8*于常温下还原后移入烧杯中, 要使直立于其中的未加盖玻璃的磨片全部被液体淹没。持续7~8分钟后肉眼可以见到明显的 去 色 现象,将磨片用水流小心冲洗。去色时间太长或羟氧浓度过大,效果并不会好,原因是方解石、白云石和菱锰矿之类的矿物常受到破坏,而对针铁矿、赤

铁矿、纤铁矿、磁赤铁矿、磁铁矿等铁矿物以及褐锰矿和黑锰矿等锰矿物则不起作用。

有些矿物常被铁、锰氢氧化物掩盖,以致在研究光、薄片时难以发现,但从磨片上将其去除后,在许多情况下可以显露出来。磨片去色还可以评价矿物的溶蚀程度;发现溶蚀后残留下来的铁、锰氧化矿物。

例如,取之太平洋海底的铁、锰结核,去色后,发现了结晶形态规则的无色透明矿物的堆积,大小为0.009~0.3毫米,经光性和X-射线鉴定为石英。

告宁 摘译自: 《Литология·и полезные ископаемые》, 1973. №3. стр.149~150